

# 解三维对流——扩散方程的一种

## 迭代格式

中国科学院计算中心

王汝权 焦履琼

在许多数学物理问题中，常常会遇到求解对流——扩散方程的问题。如果方程中只含对流项或只含扩散项，无论是二维问题或三维问题都有许多比较成熟的数值方法。但是，当二者同时存在，而且扩散系数很小时，这类方程的求解是十分困难的。有些常用的隐式差分格式，在二维情形是绝对稳定的，而在三维情形就是条件稳定的了<sup>[1]</sup>。因此，有必要研究三维问题的差分方法。对三维问题来说，更为主导的事是如何设计最经济的算法，从而大大减少计算机的存储量及计算时间。局部一维化的隐式交方向追赶法（ADI）是十分有效的。但在某些情况下是失效的<sup>[2]</sup>。为此，通常采用迭代型的隐式格式<sup>[2, 3]</sup>，它的储量很小，而且编制程序非常简单。

### 一、中心隐式迭代格式

考虑下列偏微分方程

其中  $a$ 、 $b$ 、 $c$ 、 $d$  可以是  $x$ 、 $y$ 、 $u$  的函数。但本文只是考虑常系数。且  $c$ 、 $d \geq 0$ 。

设  $x$  方向的格网为  $\Omega_{\Delta x} = \{x_i = i\Delta x, i = 0, 1, \dots\}$ 。  
 $y$  方向的格网为  $\Omega_{\Delta y} = \{y_j = j\Delta y, j = 0, 1, \dots, M+1\}$ 。  
 $\emptyset$  方向的格网为  $\Omega_{\Delta \emptyset} = \{\emptyset_k = k\Delta \emptyset, k = 0, 1, \dots, K\}$ 。于是，所求解的空间网式区域为

$$\Omega_\Delta = \Omega_{\Delta x} \times \Omega_{\Delta y} \times \Omega_{\Delta \emptyset}$$

$$\text{令 } u_{i, j, k} = u(x_i, y_j, \emptyset_k)$$

通常对(1)中的偏导数，用下列向前及中心差分公式（在格点  $(i+1, j, k)$  上写的形式）：

$$\frac{\partial u}{\partial y} \Big|_{(i, j, k)} = (u_{i+1, j, k} - u_{i, j, k}) / \Delta x$$

$$\frac{\partial u}{\partial y} \Big|_{(i, j, k)} = (u_{i+1, j+1, k} - u_{i+1, j-1, k}) / 2\Delta y \quad (2)$$

$$\frac{\partial^2 u}{\partial y^2} \Big|_{(i, j, k)} = (u_{i+1, j+1, k} - 2u_{i+1, j, k} + u_{i+1, j-1, k}) / \Delta y^2$$

• 2 • (2)

$\frac{\partial u}{\partial \phi}$ 

$$\frac{\partial u}{\partial \phi} = (U_{i+1, j, k+1} - U_{i+1, j, k-1}) / (2\Delta\phi)$$

 $\frac{\partial^2 u}{\partial \phi^2}$ 

$$\frac{\partial^2 u}{\partial \phi^2} = (U_{i+1, j, k+1} - 2U_{i+1, j, k} + U_{i+1, j, k-1}) / \Delta\phi^2$$

将(2)代入(1)并整理后，得到 Hellmich-Lubard 迭代格式<sup>(2)</sup>：

$$U_{i+1, j, k}^{n+1} + \frac{a\Delta x}{2\Delta y} (U_{i+1, j+1, k}^{n+1} - U_{i+1, j-1, k}^{n+1}) +$$

 $b\Delta x$ 

$$\frac{-}{2\Delta\phi} (U_{i+1, j, k+1}^n - U_{i+1, j, k-1}^n) - \frac{c\Delta x}{\Delta y^2} (U_{i+1, j+1, k}^{n+1} -$$

$$- 2U_{i+1, j, k}^{n+1} + U_{i+1, j-1, k}^{n+1}) - \frac{d\Delta x}{\Delta\phi^2} (U_{i+1, j, k+1}^n -$$

$$3U_{i+1, j, k}^{n+1} + U_{i+1, j, k-1}^{n+1}) = U_{i, j, k}^n \quad (3)$$

为了分析格式(3)的迭代收敛性，在(2)中用莫利叶分析方法。

而令  $U_{i+1, j, k}^{n+1} = \lambda e^{i(m_1 j \Delta y + m_2 k \Delta \phi)}$  及  $U_{i, j, k}^n =$

$e^{i(m_1 j \Delta y + m_2 k \Delta \phi)}$  并代入(3)，若  $|\lambda| < 1$ ，则迭代过程是收

的。文[2]中得到的收敛条件为

$$\Delta^2 < \frac{\Delta\phi}{|b|} \quad (4)$$

我们指出，条件(4)当  $b = 0$  时是准确成立的，但一般情况下，  
应近似地满足下列条件。

$$|\alpha| < 1 + 2\beta + 2\gamma \quad (5)$$

其中  $\alpha = b \frac{\Delta^2}{\Delta\phi}$ ,  $\beta = c \frac{\Delta^2}{\Delta\phi^2}$ ,  $\gamma = d \frac{\Delta^2}{\Delta\phi^2}$  数值试验表明，

当  $c, d$  不太小，而  $\Delta y = \Delta\phi$  够小时， $\beta, \gamma$  是一个大数。实际  
计算过程是受条件(5)而不是受条件(4)控制的。（例如第三节算例 I 中  
 $\alpha = c \frac{\Delta t}{\Delta^2} = 50$ ,  $\beta = \mu \frac{1}{\Delta^2} = 50$ , 而  $1 + 2\beta = 101$ ）。

从(4), (5)看出，虽然迭代格式(3)收敛后为全隐式格式，因而是绝对  
稳定的；但由于迭代的结果，实际上又是条件稳定的。当格网非均匀性  
很强时，常导致迭代的发散（见算例 II）。此外，用格式(3)解抛物化的  
*Navier-Stokes* 方程组时，会给推进步长带来极为苛刻的限制<sup>[2]</sup>。  
这是因为不稳定的初值问题要

$$\Delta^2 \geq c (\Delta^2 + \Delta\phi^2) \quad (6)$$

而由于迭代收敛性的要求，必须满足条件(4)或(5)，这在有些情况下

是困难的(2)。

## 二 迎风隐式迭代格式

基于以上理由，设计一种无条件收敛的迭代格式是十分必要的。事实上，若将(8)式中的对流项  $b \frac{\partial u}{\partial \phi}$  用一阶隐式迎风格式来代替就能做到这一点。即

$$b \frac{\partial u}{\partial \phi} = \begin{cases} b \frac{U_{i+1,j,s,k}^{n+1} - U_{i+1,j,s,k-1}^n}{\Delta \phi} & \text{当 } b \geq 0 \\ b \frac{U_{i+1,j,s,k+1}^n - U_{i+1,j,s,k}^{n+1}}{\Delta \phi} & \text{当 } b < 0 \end{cases} \quad (7)$$

但是(7)式对一阶偏导数的逼近只有一阶精度其截断误差太大。为此，我们建议用下列二阶精度的逼近公式：

$$b \frac{\partial u}{\partial \phi} = \begin{cases} \frac{b}{2} \left[ \frac{U_{i+1,j,s,k}^{n+1} - U_{i+1,j,s,k-1}^n}{\Delta \phi} + \frac{U_{i,j,k+1} - U_{i,j,k}}{\Delta \phi} \right] & b \geq 0 \\ \frac{b}{2} \left[ \frac{U_{i,j,k+1} - U_{i,j,k}}{\Delta \phi} + \frac{U_{i+1,j,k+1}^n - U_{i+1,j,k}^{n+1}}{\Delta \phi} \right], b < 0 & \end{cases} \quad (8)$$

与此同时，对固定的 $\phi = \phi_k$ 。为了使 $y$ 方向的三对角阵的主元素占优势，对 $a \frac{\partial u}{\partial y}$ 亦可用类似的近似公式(4)：

$$a \frac{\partial u}{\partial y} = \begin{cases} -\frac{a}{2} \left( \frac{u_{i+1,j,k}^{n+1} - u_{i+1,j-1,k}^{n+1}}{\Delta y} + \right. \\ \left. \frac{u_{i,j+1,k}^{n+1} - u_{i,j,k}^{n+1}}{\Delta y} \right) & a \geq 0 \\ -\frac{a}{2} \left( \frac{u_{i,j,k}^{n+1} - u_{i,j-1,k}^{n+1}}{\Delta y} + \right. \\ \left. \frac{u_{i+1,j+1,k}^{n+1} - u_{i+1,j,k}^{n+1}}{\Delta y} \right) & a < 0 \end{cases}$$

对二阶导数 $\frac{\partial^2 u}{\partial y^2}, \frac{\partial^2 u}{\partial \varphi^2}$ 。仍采用中心差分公式(2)，考虑到(8)和(9)，我们得到下列迎风隐式迭代格式：

$$\begin{aligned} u_{i+1,j,k}^{n+1} &+ \left( \frac{a+|a|}{4} \right) \frac{\Delta x}{\Delta y} \left[ (u_{i+1,j,k}^{n+1} - u_{i+1,j-1,k}^{n+1}) \right. \\ &\quad \left. + (u_{i,j+1,k}^{n+1} - u_{i,j,k}^{n+1}) \right] + \left( \frac{a-|a|}{4} \right) \frac{\Delta x}{\Delta y} \left[ (u_{i,j,k}^{n+1} - \right. \\ &\quad \left. u_{i,j-1,k}^{n+1}) + (u_{i+1,j+1,k}^{n+1} - u_{i+1,j,k}^{n+1}) \right] + \left( \frac{b+|b|}{4} \right) \frac{\Delta x}{\Delta \varphi} \end{aligned}$$

$$\begin{aligned}
& \left( \left( u_{i+1,j,k}^{n+1} - u_{i+1,j,k-1}^{n+1} \right) + \left( u_{i,j,k+1} - u_{i,j,k} \right) \right) \\
& + \left( \frac{b-|b|}{4} \right) \frac{\Delta x}{\Delta \varphi} \left( \left( u_{i,j,k} - u_{i,j,k-1} \right) + \left( u_{i+1,j,k+1}^{n+1} \right. \right. \\
& \left. \left. - u_{i+1,j,k} \right) \right) - c \frac{\Delta x}{\Delta \varphi^2} \left( u_{i+1,j+1,k}^{n+1} - 2u_{i+1,j,k}^{n+1} + u_{i+1,j-1,k}^{n+1} \right) \\
& - d \frac{\Delta x}{\Delta \varphi^2} \left( u_{i+1,j,k+1}^{n+1} - 2u_{i+1,j,k}^{n+1} + u_{i+1,j,k-1}^{n+1} \right) \\
= & \quad u_{i,j,k} \tag{10}
\end{aligned}$$

( $i=0, 1, 2, \dots, n+1$ ,  $j=0, 1, \dots, m+1$ ,  $k=0, 1, \dots, R$ )

迭代格式(10)收敛后无条件稳定的，不难证明。格式(9)也是无条件收敛的。

### 三、数值计算例

为了检验我们对格式(8)和格式(9)的分析结论。用线性 Burgers 方程作了数值计算。

考虑问题(5)

$$\frac{\partial u}{\partial t} + \frac{\partial u}{\partial x} = \frac{1}{R_0} \frac{\partial^2 u}{\partial x^2} \quad (\Delta < \alpha < 1)$$

$$u(t, 0) = \varphi(t)$$

$$u(t, 0) = 0$$

$$u(t, 1) = 1$$

(11)

当  $R_e$  很大时，在右边界产生极薄的边界层。为了提高边界层的分辨率，我们将〔6〕中建议的座标变换。

$$x = 1 - (1 - \bar{y})^2 \quad (12)$$

改为下列形式

$$x = 1 - (1 - \bar{y})^s \quad (13)$$

其中  $s$  取为正数。当  $R_e$  增加时，加大  $s$  即能任意提高  $x = 1$  附近边界层区域的分辨率。经过变换后，方程 (11) 在新的坐标 ( $t, \bar{y}$ ) 中变成

$$\frac{\partial u}{\partial t} + (a\bar{y}_x - \frac{1}{R_e}\bar{y}_{xx}) \frac{\partial u}{\partial \bar{y}} = \frac{1}{R_e} \bar{y}_x \frac{\partial^2 u}{\partial \bar{y}^2}$$

$$u(0, \bar{y}) = \varphi(\bar{y})$$

$$u(t, 0) = 0$$

$$u(t, 1) = 0$$

$$\text{其中 } \bar{y}_x = \frac{1}{(1-\bar{y})^{s-1}} \quad \bar{y}_{xx} = \frac{(s-1)}{s^2} \frac{1}{(1-\bar{y})^{2s-2}}$$

利用迭代格式 (3) (简称 RL 格式) 和格式 (10) (简称 WJ 格式) 对下列三组参数进行了比较试算：

算例 I  $a = 1, R_e = 10, \Delta \bar{y} = 0.1, s = 2$  (等距)。

此种情形。HL 格式及 WJ 格式皆收敛 (取  $\Delta t = 0.04, 1, 5$ )。但  $\Delta t = 5$  时。HL 格式出现振荡解。(见表 I)。而 WJ 总是有单调的解。

算例 II  $a = 1, R_e = 100, \Delta \tilde{t} = 0.05, S = 4$ , 此时 HL 格式可得到定常解, 但  $\Delta t = 1$  或 5 时, 非常缓慢地收敛于定常解。而 WJ 格式在任何步长下都较快地收敛到定常解。

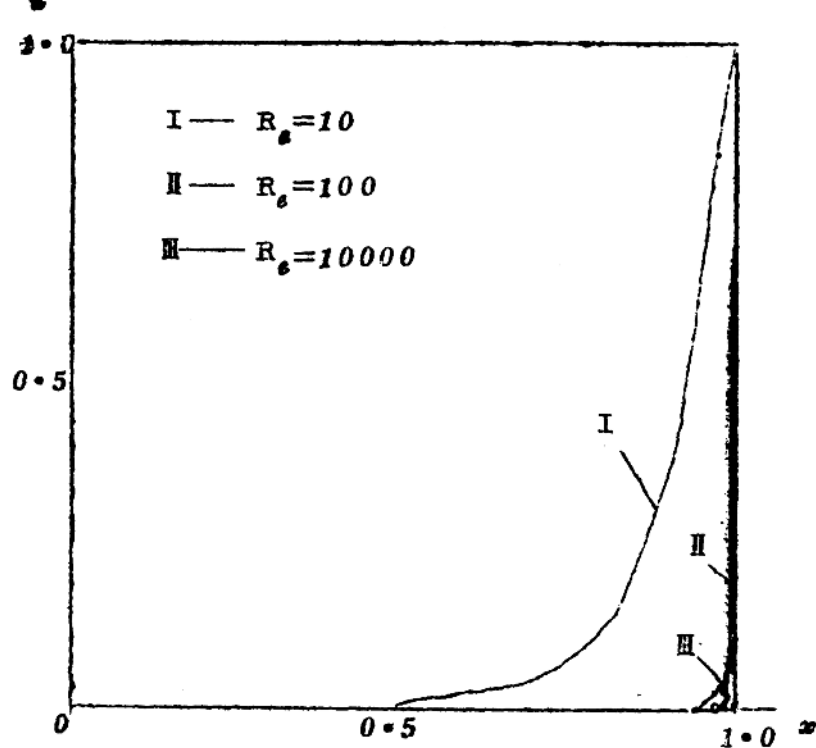
算例 III  $a = 1, R_e = 10^4, \Delta \tilde{t} = 0.04, S = 5$ 。此时, 即使取  $\Delta t = 0.0001$ , HL 格式也不收敛, 而 WJ 格式对任  
何步长皆收敛。(见图)。

所有的计算都用时间。空间解的二阶精度格式。若用一阶隐式格  
式结论基本相同。当  $R_e$  很大时。在  $x = 1$  附近的格网密度很高。迭  
代的收敛速度大为减慢。因此。在实际计算中应引进加速参数。

总之。数值试验与我们的分析结论是完全吻合的。格式(10)可  
应用于求解三维边界层或三维简化 Navier-Stokes 方程的问题。

表 I · 定常解比較 (算例 I,  $\Delta t = 5$ )

$s$	0 · 0	0 · 1	0 · 2	0 · 3	0 · 4	0 · 5	0 · 6	0 · 7	0 · 8	0 · 9	1 · 0
HL	0 · 0159 <sup>-2</sup>	0 · 145 <sup>-1</sup>	0 · 1322 <sup>-3</sup>	0 · 9281 <sup>-2</sup>	0 · 3244 <sup>-1</sup>	0 · 1192 <sup>-1</sup>	0 · 3730 <sup>-1</sup>	0 · 1118 <sup>-1</sup>	0 · 3333 <sup>-1</sup>	0 · 3333 <sup>-1</sup>	0 · 3333 <sup>-1</sup>
WJ	0 · 0 · 333 <sup>-3</sup>	0 · 1359 <sup>-3</sup>	0 · 4412 <sup>-3</sup>	0 · 1256 <sup>-2</sup>	0 · 4100 <sup>-2</sup>	0 · 1233 <sup>-1</sup>	0 · 3702 <sup>-1</sup>	0 · 1111 <sup>-1</sup>	0 · 3333 <sup>-1</sup>	0 · 3333 <sup>-1</sup>	0 · 3333 <sup>-1</sup>
真解	0 · 0 · 780 <sup>-4</sup>	0 · 2901 <sup>-3</sup>	0 · 8665 <sup>-3</sup>	0 · 2434 <sup>-3</sup>	0 · 6693 <sup>-2</sup>	0 · 1827 <sup>-1</sup>	0 · 4974 <sup>-1</sup>	0 · 1353 <sup>-1</sup>	0 · 3679 <sup>-1</sup>	0 · 3679 <sup>-1</sup>	0 · 3679 <sup>-1</sup>



### 参 考 文 献

- (1) P. G. Bletzner. AD-A013269. 1975.
- (2) W. S. Hellings et al. Computer and Fluids.  
No. 1. 1975
- (3) S. G. Rubin et al. J. Comput. Phys. No. 2.  
1972.
- (4) 王汝权, 焦履琼. 数值计算与计算机应用. 第一卷. 第一期. 1980

- (5) P. J. Roache , Computational Fluid  
Dynamics , Hermosa publishers ,  
Albuquerque, 1972 .
- (6) Ingenieria Civil y DE Rivas , J. Comput. phys.  
No. 2, 1972 .